

- 1.- Estructuras de slumping en niveles de margocalizas rosadas y blancas (2,3 m de potencia) del Coniaciense superior-Santoniano inferior, zona de *Praeglobotruncana (Dicarinella) concavata* (BROTZEN), pertenecientes a la formación de "capas rojas" ($C_{16}^3 - T_2^{Ac}$) del Subbético Interno de Sierra de Teba-Peñarrubia. Talud de la Carretera Campillos-Ronda.
- 2.- Margocalizas y margas arcillosas grisáceas, blanquecinas, amarillentas, y verdosas del Cenomaniano (C_{16-21}^3). Mismo talud de la foto anterior.
- 3.- Contacto entre el nivel terminal de las calizas del Tithónico superior-Berriasiense (segundo subtramo del Jurásico superior-Berriasiense) y las margas y margocalizas del Albiano superior en las inmediaciones, al W, del puente sobre el Río de la Venta, Sierra de Teba-Peñarrubia, carretera nueva Campillos-Ronda.

- 4.- Detalle del contacto citado en la foto anterior. Se observan en la punta del martillo algunos Belemnites, muy abundantes en este nivel margoso del Cretácico, además de estructuras en el techo calizo que parecen representar un microkarst y restos de hard-ground.
- 5.- Aspecto de los niveles nodulosos de la parte terminal del segundo subgrupo del Jurásico superior-Berriasiense en el talud de la carretera Campillos-Ronda al W del puente sobre el río de la Venta, Sierra de Teba-Peñaarrubia.
- 6.- Detalle de la foto anterior: se observan cortes de Ammonites.

- 7.- Hard-ground en la superficie de un nivel calizo de la parte terminal del segundo subtramo del Jurásico superior-Berriasiense, misma localización de las fotos 5 y 6.
8. - Vista del sector de Fuente Tolox. A la izquierda los niveles terminales de la secuencia caliza jurásica. En primer término materiales aluviales sobre las "capas rojas" que afloran en segundo término a la altura de la casa. El relieve cubierto de olivos corresponde al afloramiento de materiales de una terraza antigua y la llanura al pie de este relieve corresponde a un afloramiento travertínico (ver fotos siguientes). Al fondo, a la derecha, Areniscas "del Aljibe" (Numídico).
- 9.- Las "capas rojas" en el Río de la Venta. Sobre ellas el travertino (aquí muy poco potente). En segundo término la terraza citada en la foto anterior.

- 10.- Las capas rojas en el río de la Venta; a la izquierda descansa sobre ellas un travertino, a la derecha los materiales de una terraza aluvial: Al fondo areniscas numídicas de Cámara Alta.
- 11.- Detalle del contacto entre las capas rojas y el travertino que descansa sobre ellas.
- 12.- El contacto anterior: obsérvese la llanura desarrollada sobre el travertino; al fondo el relieve perteneciente a la terraza aluvial citada en la foto n° 8.

- 13.- El curso sobreimpuesto del río de la Venta en el "Tajo del Molino", visto desde el Sur. En primer término terraza aluvial de la foto nº 10. En segundo término, las casas están construidas en la llanura correspondiente al travertino. Más al fondo las capas rojas (y aquí también materiales del Albienense superior-Cenomanicense) y las calizas del segundo subtramo del Jurásico superior-Berriasiense. En último término, sobre el estribo derecho del puente, se observan sucesivamente: a) el relieve suave correspondiente a los afloramientos de las calizas noduloso-brechoides del primer subtramo del Jurásico superior-Berriasiense; b) el relieve más fuerte correspondiente a los afloramientos de calizas oolíticas del Lías medio y superior y el Dogger, y c) una delgada franja de areniscas calcáreas del Mioceno superior (Tortonense superior-Messiniense superior) discordantes.
- 14.- Aspecto del Tajo del Molino: calizas del segundo subtramo del Jurásico superior-Berriasiense. Al fondo la sucesión indicada en la foto anterior: calizas noduloso brechoides, calizas oolíticas y areniscas calcáreas del Mioceno superior discordante.
- 15.- El flanco Sur de la Sierra de Teba-Peñaarrubia desde el puente sobre el Río de la Venta. Las calizas del segundo subtramo del Jurásico superior-Berriasiense buzando al Sur y, sobre ellas, los materiales cuaternarios. Al fondo se ve el talud de la carretera correspondiente a las fotos nº 1 y 2.

- 16.- Perspectiva del borde Sur de la Sierra de Teba. En primer término areniscas calcáreas bioclásticas y conglomerados del Mioceno superior discordante. Al fondo afloramientos de calizas oolíticas del Lías medio y superior y Dogger limitados por una fractura de dirección ENE-WSW. Al fondo, a la izquierda, en el relieve del Castillo, calizas del Jurásico superior-Berriasiense y "capas rojas".
- 17.- Areniscas calcáreas bioclásticas y conglomerados del Mioceno superior (Tortoniano superior-Messiniano superior) discordantes.
- 18.- Falla inversa que superpone las calizas del Jurásico superior-Berriasiense sobre las "capas rojas" en el Cerro del Castillo, en Teba.

- 19.- Calizas oolíticas (J_{12-2}) en el talud de la carretera Teba-Almargen en las inmediaciones de la población citada en primer lugar.
- 20.- Contacto (señalado por el martillo) entre las calizas oolíticas del Lías medio y superior-Dogger y las calizas noduloso-brechoides del Oxfordense medio-Kimmeridgiense inferior (primer subtramo del Jurásico superior-Berriasiense). Proximidades del punto anterior.
- 21.- Detalle de las calizas noduloso-brechoides citadas en la foto anterior.
Mismo punto anterior.

22.- A la derecha las calizas noduloso-brechoides citadas anteriormente y, sobre ellas, en un relieve más enérgico, los primeros niveles calizos del 2º subtramo del Jurásico superior-Berriasiense. Teba, en la salida de la carretera hacia Almargen.

23.- Vista hacia el Suroeste, desde el punto anterior, del borde Norte del Cerro del Castillo (Teba): calizas del segundo subtramo del Jurásico superior-Berriasiense, que terminan aquí en niveles nodulosos que dan un relieve más suave entre el coche y las granjas. En estas últimas afloran, en los suelos blanquecinos, las "capas rojas". La zona deprimida más oscura corresponde a afloramientos de materiales pertenecientes a Unidades con Flysch del tipo "Campo de Gibraltar". Al fondo la Sierra de Lentejuela y en la lejanía la de Cañete.

24.- Terraza aluvial antigua en la nueva carretera Campillos-Ardales.

25.- Areniscas numídicas ("A. del Aljibe") en el talud de la carretera citada más arriba.

26.- Detalle de la anterior.

27.- Estructuras en esquistos del paleozoico maláguide. Carretera Ardales-
El Burgo.

28.- Conglomerados y areniscas rojas del Permotrias maláguide. Carretera
Ardales-El Burgo.

29.- Calizas del Jurásico maláguide. Carretera Ardales-El Burgo.

- 30.- Areniscas y margas arenosas del Aquitaniense maláguide. Carretera Ardales-El Burgo, en las proximidades del antiguo Pantano de Andrade.
- 31.- Panorámica hacia el Norte desde las proximidades del pantano de Andrade: A la izquierda, cubiertas por monte bajo, las "capas rojas" del Subbético Interno; sobre ellas el Complejo Supranumídico de Arcillas con klippe sedimentarios; uno de ellos, correspondiente a areniscas de tipo numídico, constituye el pequeño relieve tras el cortijo; más a la derecha el Aquitaniense maláguide con klippe de calizas jurásicas de la misma unidad que representan los relieves pronunciados del borde derecho de la foto..
- 32.- Vista hacia el Noroeste desde las proximidades de la carretera Ardales-El Burgo, cerca del Pantano de Andrade. En primer término terraza aluvial y relieve modesto en dolomías del Jurásico maláguide. En la ladera situada en segundo plano afloran el paleozoíco maláguide y sobre él unos metros de areniscas y conglomerados permotriásicos. A partir del rellano afloran areniscas y margas arenosas del Aquitaniense maláguide con paquetes de brechas y olistoslitos de calizas jurásicas de la misma unidad.

33.- Panorámica hacia el NW (hacia el castillo de Turón) desde la carretera Ardales-El Burgo. El Cerro donde se asienta el castillo es un klippe sedimentario de dolomías del Jurásico maláguide englobado en materiales aquitanienses de la misma unidad. Debajo del Cerro del Castillo se aprecia un paquete bastante continuo de brechas de la misma formación que coronan el relieve intermedio del centro de la foto.

34.- Detalle de las brechas citadas en el apartado anterior.

35.- Pliegues en niveles de cuarcitas alpujárrides (Unidad de Casares). La charnela es de dirección NIOW; el plano axial es de dirección N20E y buza 30° N.

36.- Filitas negras alpujárrides (Unidad de Casares).

37.- Dolomías triásicas de la unidad alpujárride de Casares.

38.- En primer término materiales de pie de monte. En el camino afloran filitas y cuarcitas y sobre ellas las dolomias de la unidad alpujárride de Casares.

39.- En primer término afloramientos de filitas y cuarcitas alpujárrides superpuestos a las dolomias de la Unidad de Capellán (a la derecha, en el relieve más pronunciado).

40-41.- Panorámica del Complejo supranumídico. Vista hacia el Norte desde las proximidades de la carretera Campillos-Ronda. En primer término bloques de areniscas numídicas. En la alineación que se dirige a la carretera afloran calizas detríticas con microfauna abundante del Paleógeno (Eoceno). En segundo plano brechas olistostrómicas y dolomías. Al fondo la Sierra de Teba-Peñaarrubia: se advierte en el centro de esta Sierra una superficie de erosión en las calizas, probablemente pre-Tortoniense superior.

42-43.- Al fondo las calizas del Jurásico superior de Ortegícar. Sobre ellas, cubiertas con monte bajo, las "capas rojas" que afloran claramente en el cauce del río. Sobre ellas el complejo supranumídico descrito en la foto anterior.

44.- Detalle del contacto anterior

45.- Olistolito de calizas detríticas eocenas incluido en el Complejo supranumídico.

46.- Brechas olistostrómicas del Complejo Supranumídico.

47.- Brechas olistostrómicas del Complejo supranumídico.

- 48-49.- Detalles de las arcillas verdes con intercalaciones de margocalizas gris-blanquecino, de edad Burdigaliense, del Complejo supranumídico, en el curso del río Guadateba, al Sur del Cortijo de Ortegícar.
- 50.- Aspecto de las arcillas margosas verdes y rojas, superpuestas a las anteriores (Burdigaliense).
- 51.- Arcillas rojas satinadas, con intercalaciones margocalizas, del techo de la formación anterior (Burdigaliense).

52.- Areniscas numídicas de la carretera Campillos-Ronda, en las proximidades del cruce con la que conduce a Cañete.

53-54.- Panorámica hacia el NW: las cotas más altas corresponden a los afloramientos calizos de la alineación Padestro-Padrastrillo afines al Subbético Interno (interior de la ventana de Cañete la Real). Al fondo las dolomías del borde occidental de la Unidad de Cañete. El relieve que ocupa, en el primer plano, el borde derecho de la fotografía corresponde a las dolomías del flanco oriental de la misma unidad de Cañete. En primer término y en la zona ocupada por olivos en la parte central del borde izquierdo de la foto: areniscas numídicas.

55.- Las calizas de Padrastro (Subbético Interno de la ventana de Cañete la Real), en la parte culminante del borde derecho de la foto, bajo las dolomías de la Unidad de la Sierra de Cañete (parte culminante del centro de la foto).

56.- Vista hacia el Sur del extremo meridional de la ventana de Cañete. En primer término el Complejo supranumídico, en la parte central pequeño afloramiento de calizas del Jurásico superior del Subbético Interno. Las cumbres corresponden a afloramientos de dolomías de la base de la Unidad de la Sierra de Cañete.

57.- Las calizas de Padrastrillo (a la derecha) bajo las dolomías de la Unidad de la Sierra de Cañete (a la izquierda). Vista hacia el NE.

58.- En primer término las "capas rojas", en segundo plano los materiales terciarios de unidades infranumídicas; al fondo, a la izquierda, las calizas jurásicas de Padrastrillo (Subbético Interno) bajo las dolomías de la base de la Unidad de la Sierra de Cañete de tonos más oscuros.

59.- El Cerro de la Atalaya visto desde el Este: secuencia del Lías superior-Dogger de la Unidad de la Sierra de Cañete: abajo dolomías y calizas dolomíticas, sobre ellas calizas grises, blancas y amarillentas, calizas con sílex y margocalizas silíceas, margocalizas con sílex y radiolaritas.

60.- Secuencia de la Unidad de la Sierra de Cañete en el camino de Cañete al Cortijo de La Lapa: contacto entre el tramo de calizas y calizas con sílex y las margocalizas con sílex y radiolaritas.

61.- Detalle de la anterior: calizas con sílex subverticales de la parte terminal de la secuencia caliza (Lías superior-Dogger).

62.- Contacto entre las calizas y los niveles de margocalizas con sílex y radiolaritas del Dogger.

63.- Detalle de las margocalizas con sílex del Dogger de la Unidad de la Sierra de Cañete.

64.- Arcillas versicolores y carniolas triásicas de la base de la secuencia de la Unidad de la Sierra de Cañete (Carretera Cañete-Almargen).

65.- Dolomías recristalizadas en bandas alternantes blancas y gris oscuro o gris-crema del Lías inferior; secuencia de la Unidad de la Sierra de Cañete (Carretera Cañete-Almargen).

66.- La superposición de los materiales triásicos del Manto de Antequera-Osuna sobre el Complejo supranumídico en el sector Peñón de Montentier-Arroyo de Corbones, visto desde el Este. En primer término el Complejo supranumídico. En segundo plano, en el centro de la foto, se observa el contacto citado, señalado por una nítida ruptura de pendiente. El relieve que se aprecia en la parte central de la foto es el Peñón de Montentier, constituido por dolomías y, sobre todo, calizas oolíticas jurásicas del Manto de Antequera-Osuna.

67.- Detalle del contacto anterior en el sector del Cerro del Castillejo. En primer término el Complejo supranumídico; sobre él los materiales triásicos, delimitados claramente por la zona con vegetación arbustiva dispersa.

68-69.- Panorámica tomada hacia el Norte desde la subida a la Loma de la Cordillera (carretera del Cortijo de Lora a Alcalá del Valle). En primer término Complejo supranumídico, en el que predominan en este sector los bloques de areniscas numídicas y de "capas rojas" (estas últimas en los dos pequeños mogotes de tonos claros en la parte central de la foto, inmediatos al observador). En segundo plano los materiales del Manto de Antequera-Osuna, superpuestos al Complejo supranumídico: el relieve de la derecha es el Peñón de Montentier: dolomías (en la base, a la izquierda) y calizas oolíticas jurásicas sobre los materiales triásicos (se trata de la continuación hacia el Oeste del mismo contacto representado en las fotos 66 y 67). Detrás, en el centro de la foto, areniscas calcáreas y conglomerados del Mioceno superior discordante. Al fondo, a la izquierda, el flanco Sur de la Sierra del Tablón.

70.- A la izquierda, el Mioceno superior discordante de la Loma de la Cordillera. En segundo plano el Peñón de la Cañada, de constitución similar al Peñón de Montentier, y los materiales triásicos sobre el Complejo supranumídico. Al fondo las estribaciones occidentales del flanco Sur de la Sierra del Tablón. Tomada hacia el Oeste.

71.- Brechas del Cretácico inferior de la secuencia de Sierra Blanquilla

72.- Radiolaritas verdes del Dogger superior?-Malm? de la secuencia de Sierra Blanquilla. Sobre ellas, en la parte superior de la fotografía, la formación de brechas representada en la fotografía anterior.

73.- Margocalizas silíceas, predominantemente verdes y rojizas, inmediatamente debajo de las radiolaritas. Dogger superior?-Malm? de la secuencia de Sierra Blanquilla.

74.- Calizas margosas grises y amarillentas, con sílex en nódulos y en bandas.
Dogger. Secuencia de Sierra Blanquilla.

75.- Calizas amarillentas, ocasionalmente oolíticas y localmente algo detríticas, con sílex en nódulos de grandes dimensiones. Lías terminal?-Dogger inferior?. Secuencia de Sierra Blanquilla.

76.- Margocalizas grises o crema con fauna de ammonites, calizas margosas y mar gocalizas con sílex. Toaciense superior (zona de *levesquei*). Secuencia de Sierra Blanquilla.

77.- Ultimos niveles de las calizas grises, rosadas y blancas, oolíticas en ocasiones, del Lías medio de la secuencia de Sierra Blanquilla. A la izquierda las margocalizas del Toarcieno superior. Al fondo, a la izquierda, la Sierra del Tablón y a la derecha las dolomías del Manto de Antequera-Osuna del Peñón de Algámitas, superpuestas a los materiales de aquélla.

78-79.- Panorámica tomada hacia el Norte desde el extremo nord-occidental de Sierra Blanquilla. En la vaguada aflora el Complejo supranumídico. Sobre él los materiales del Manto de Antequera-Osuna: en el centro de la foto, las dolomías y calizas del Peñón de Montentier (fotos 68 y 69), a la derecha, más alejados, los materiales triásicos del sector Cortijo de San Rafael-Arroyo Corbones (fotos 66 y 67). A la izquierda, al fondo, la Sierra del Tablón (estructura antiforme) y al Norte de ésta las dolomías del Manto de Antequera-Osuna del Peñón de Algámitas, claramente superpuestas a los materiales jurásicos de aquélla. Entre el Peñón de Montentier y la Sierra del Tablón, materiales del Mioceno superior discordantes.

80.- En primer término las brechas del Cretácico inferior? de la secuencia de Sierra Blanquilla, superpuestas directamente a las calizas del Lías medio de esta unidad, que aparecen en la parte superior del borde izquierdo de la fotografía. A la derecha de la fotografía, aflora el "Complejo de *Aptychus*" del Cretácico inferior de esta Unidad, y, sobre él, en el borde derecho de la foto (parte superior), "capas rojas" incluidas en el Complejo supranumídico.

81.- Algunos fragmentos de microbrecha con *Aptychus* del Cretácico inferior de la Unidad de Sierra Blanquilla (flanco meridional).

82.- Bloques de materiales triásicos (a la derecha) y de areniscas numídicas (a la izquierda) en el Complejo supranumídico. Al fondo, en el borde superior derecho de la fotografía el relieve de Sierra Blanquilla. Vista tomada hacia el Este desde la subida a la Loma de la Cordillera (carretera Cortijo de Lora-Alcalá del Valle).

900 1



900 2

9003



900 4





900 5



900 6

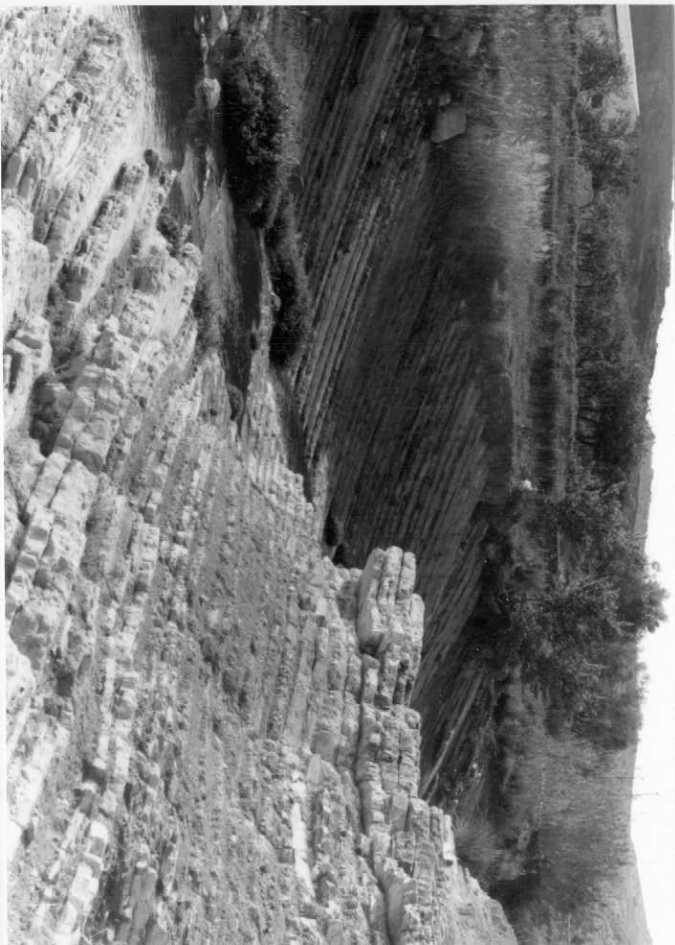
900 7





9008

6006

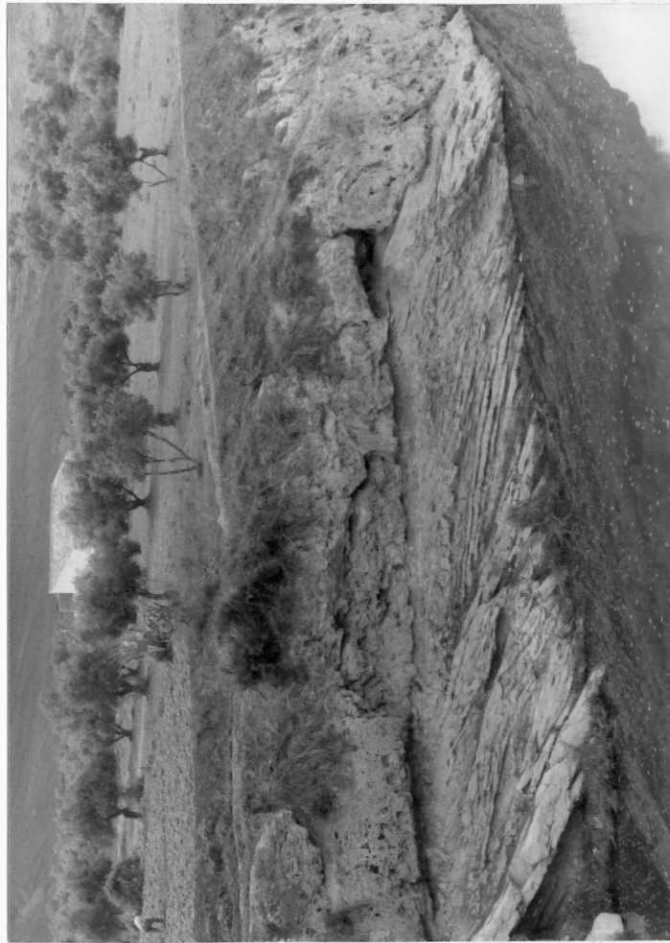


9010



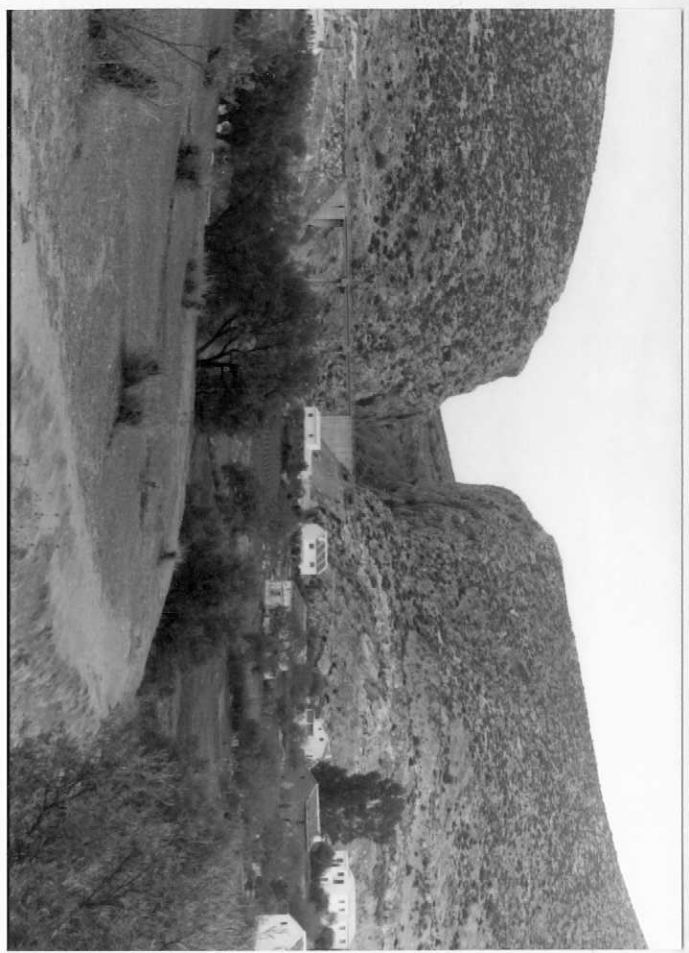
9011





9012

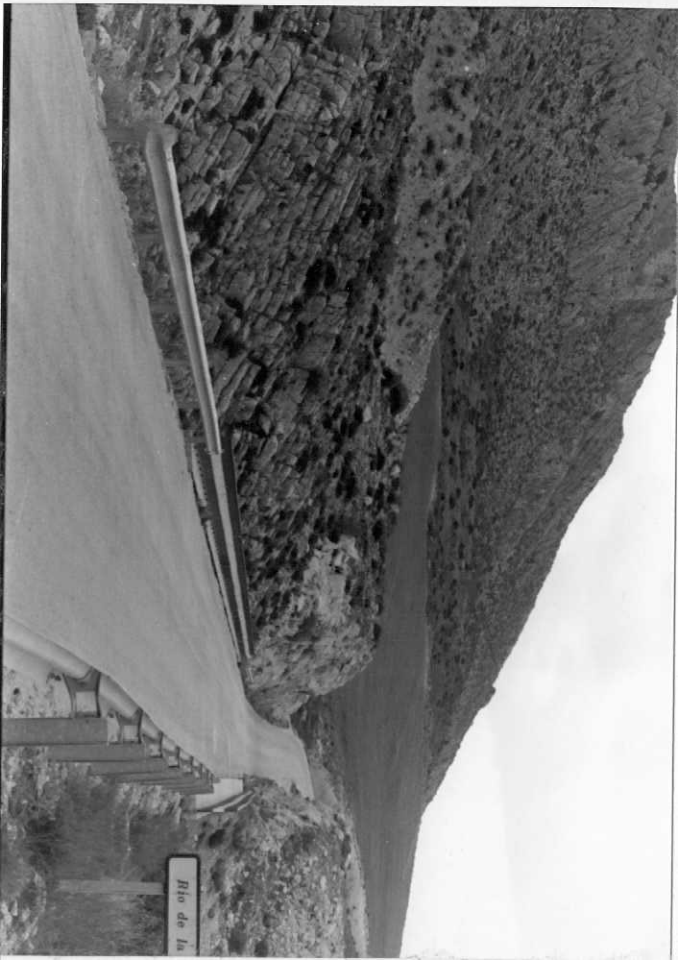
9013



9014



9015



Río de la

90 16



90 17



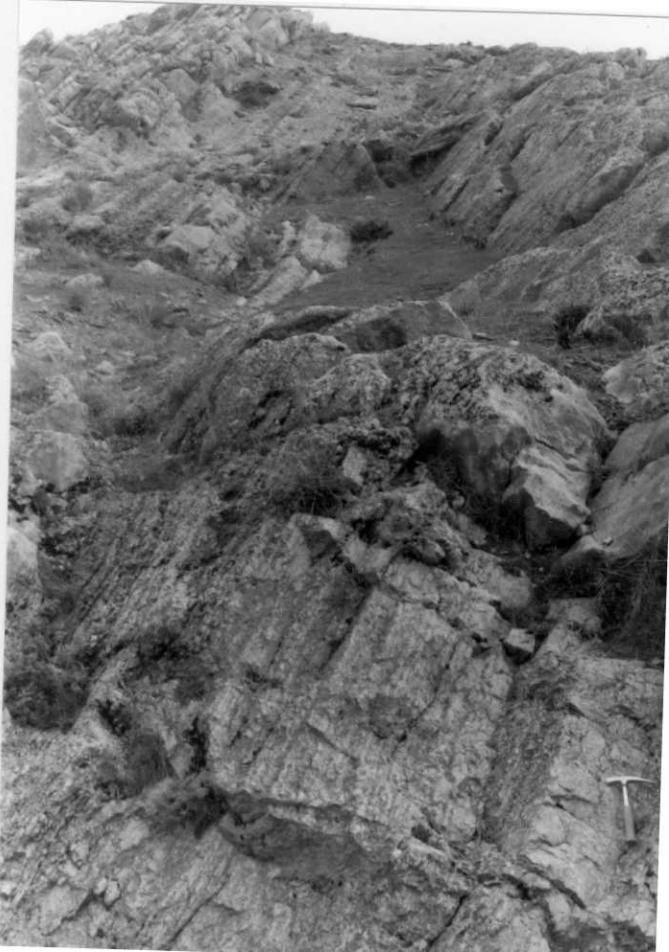
90 18





9019

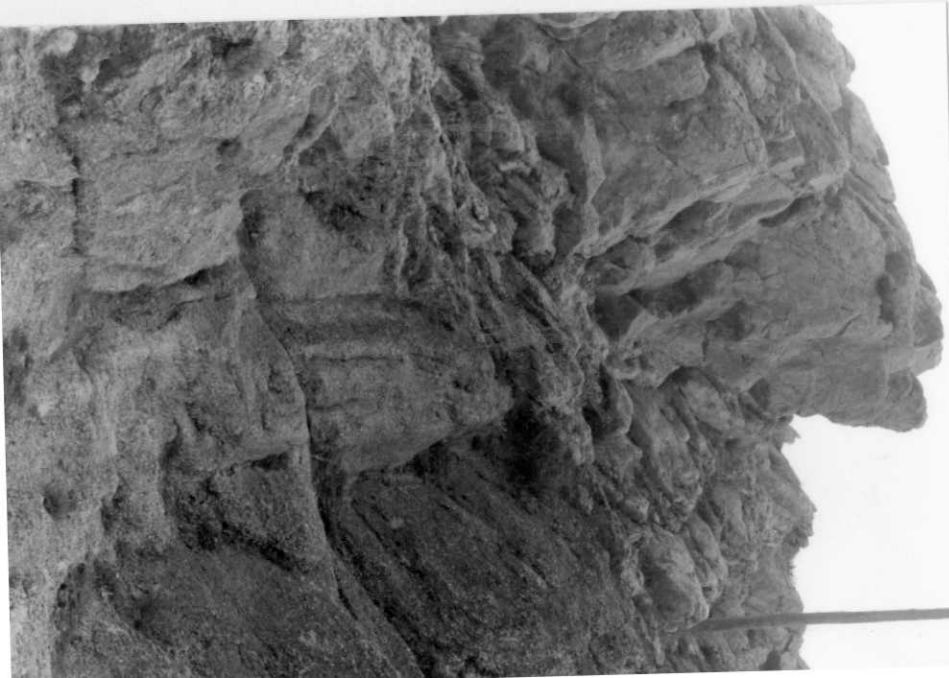
90 20





9021

90 22



9023





9024

9025



9026



90 27



9028



90 29





9030

90 31



9032





εε06

9034

9035





90 36



90 37



8038

9039



9040-41



90 42-43



9044



9045





9046



9047



9048

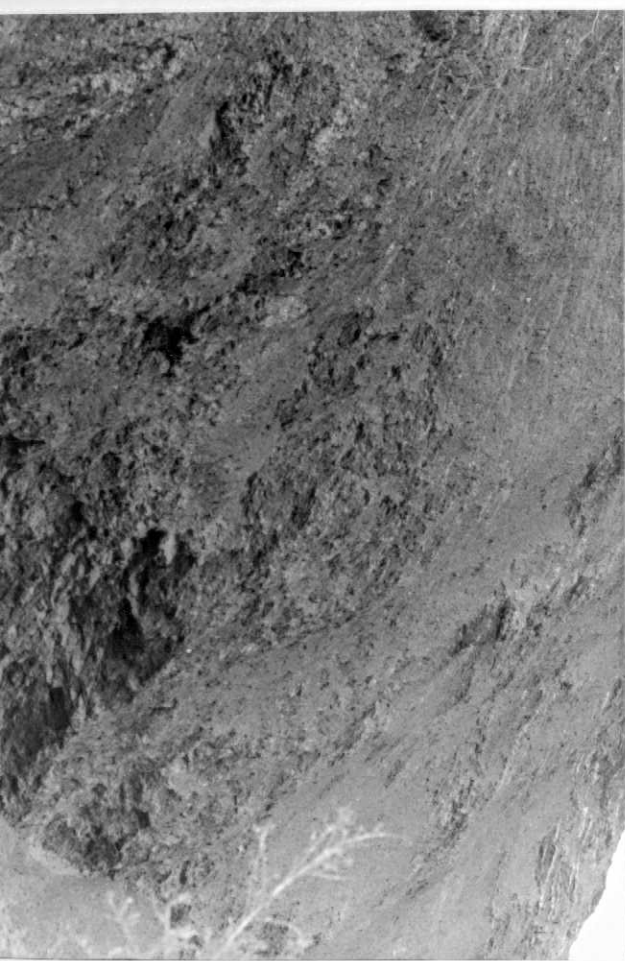


9049



9050

90 51





90 52

90 53-54





9055

9056



9057





9058

90 59



9060





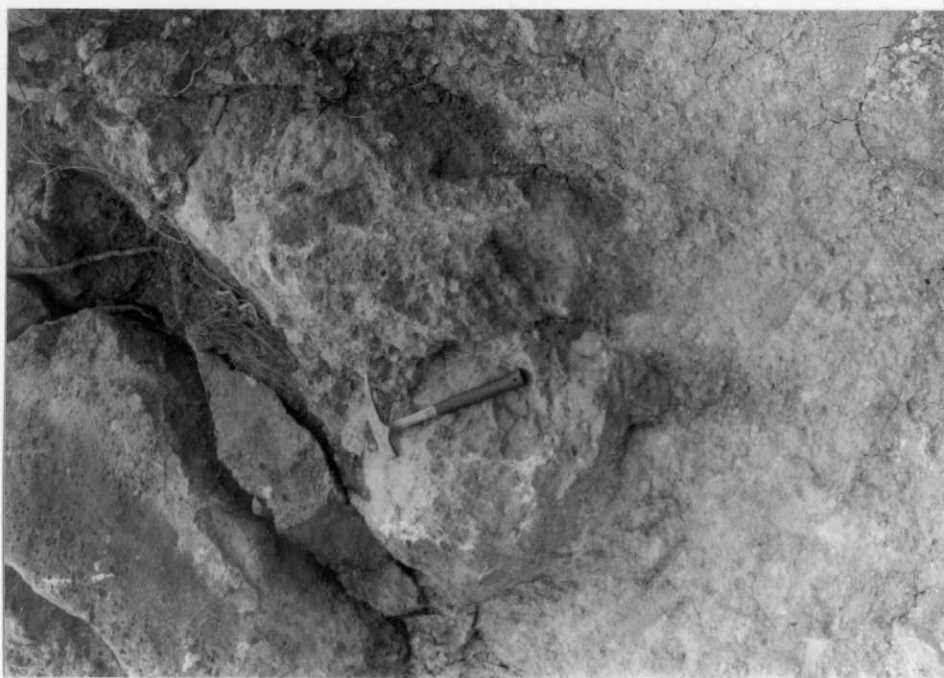
90 61



9062

9063





90 64

9065



9066





9067

9068-69





9070

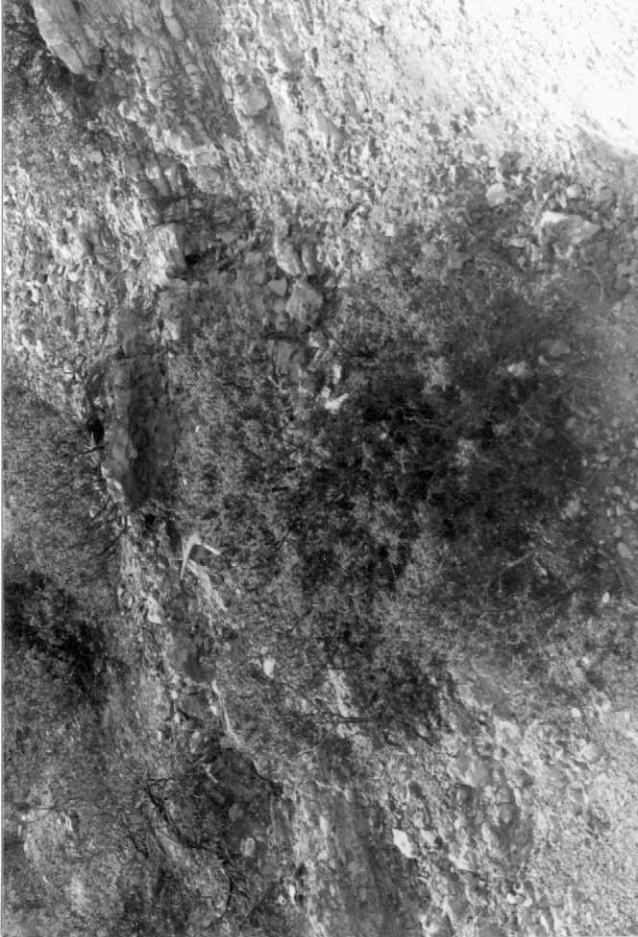
1

9071



90 72





9073

90 74



90 75



9076



L106



9078-79



9080



90
81





90 82